

К. т. н. А. З. РАХМАТОВ, к. т. н. С. Л. СКОРНЯКОВ,
д. ф.-м. н. А. В. КАРИМОВ, к. ф.-м. н. Д. М. ЁДГОРОВА,
О. А. АБДУЛХАЕВ, У. М. БУЗРУКОВ

Узбекистан, г. Ташкент, ОАО “Foton”,
ФТИ НПО “Физика–Солнце” АН РУз
E-mail: foton@globalnet.uz, karimov@uzsci.net

Дата поступления в редакцию
02.11.2009 г.

Оппонент д. ф.-м. н. А. А. ЕВТУХ
(ИФП им. В. Е. Лашкарёва, г. Киев)

ФИЗИКО-ТЕХНОЛОГИЧЕСКИЕ АСПЕКТЫ СОЗДАНИЯ НИЗКОВОЛЬТНЫХ ОГРАНИЧИТЕЛЕЙ НАПРЯЖЕНИЯ НА ОСНОВЕ КРЕМНИЯ

Исследованы процессы высококонцентрационной диффузии мышьяка в вакуумированных ампулах, влияния на параметры диффузионных p-n-переходов сверхтонких слоев оксида на кремни. Обоснован выбор режимов и источника диффузии для создания низковольтных ограничителей напряжения.

На основании результатов исследования электротехнических и технологических процессов получения низковольтных p-n-переходов путем диффузионного легирования мышьяком сильнолегированных кремниевых подложек были разработаны и внедрены в серийное производство в ОАО “Foton” два типа бескорпусных ограничителей напряжения, рассчитанных на мощность 0,5 и 1,5 кВт, с напряжением пробоя менее 7 В. Принципиальное отличие разработанных ограничителей напряжения от известных заключается в механизме пробоя. В легированных диффузиями бора и фосфора ограничителях получены значения рабочего напряжения выше 7 В с лавинным пробоем, а в легированных мышьяком ограничителях значения пробойного напряжения меньше 7 В. Как отмечено в [1], для получения стабилитронов с лавинным пробоем при напряжении 6,5 В оптимальным материалом подложки является кремний типа КДБ 0,003, который требует специально подобранного температурного режима диффузии.

Качественную диффузию примесей в кремний можно осуществить в сравнительно ограниченном диапазоне температуры. В частности, для мышьяка это диапазон 1373—1523 К. Если температура ниже 1273 К, значения коэффициентов диффузии очень малы и глубина диффузии незначительна, если выше 1573 К — качество диффузионных слоев получается неудовлетворительным. Кроме того, режим определяется выбором источника (диффузанта) и способа диффузии примеси.

В стабилитронной технике работа с мелкими p-n-переходами требует решения непростых проблем создания к ним надежных омических контактов и обеспечения заданного рабочего напряжения. Эти проблемы можно решить выбором оптимальных по температуре и длительности режимов диффузионного легирования кремниевых подложек.

В вакууме температура плавления кремния несколько снижается. Поэтому при проведении технологических процессов в вакуумированной кварцевой ампуле температура не должна превышать 1473 К. В то же время увеличение температуры диффузии выше 1373 К, как известно, слабо влияет на предельную растворимость мышьяка. В результате, для проведения экспериментов была выбрана температура 1423 К.

К настоящему времени наибольшее распространение получил процесс диффузии из твердой фазы [2], когда примесь из твердого раствора в одной области полупроводника диффундирует в примыкающую к ней другую область этого же полупроводника, свободную от примеси данного типа.

Следует отметить, что в отличие от бора и фосфора, широко применяемых в производстве в качестве легирующих примесей, мышьяк практически используется только для получения скрытых слоев в производстве кремниевых структур интегральных схем (причем в последнее время мышьяк заменяют близкой по электрофизическим характеристикам, но нетоксичной сурьмой) и, в основном, для получения стабилитронов с напряжением стабилизации (пробоя) менее 7 В. Диффузией мышьяка удается формировать p-n-структуры, существенно превосходящие по качеству (относительно низкие значения дифференциального сопротивления) структуры, сформированные с использованием фосфора и бора.

В связи с этим, актуальным является рассмотрение некоторых аспектов проведения процессов диффузии мышьяка, влияющих на воспроизводимость параметров получаемых таким способом кремниевых p-n-структур, зависящих от выбранного источника диффузии мышьяка, и их дефектность.

В настоящей работе проводились исследования процесса высококонцентрационной диффузии мышьяка в вакуумированных ампулах, влияния на параметры диффузионных p-n-переходов сверхтонких (остаточных) слоев «естественного» оксида на кремни.

Полный цикл изготовления диффузионных p-n-переходов включает в себя типовые планарные процессы: изготовление полированных пластин кремния, их защитное окисление, формирование при помощи фотолитографии окон в слое оксида для последующего формирования контактов к базе методом диффузии.

ФУНКЦИОНАЛЬНАЯ МИКРО- И НАНОЭЛЕКТРОНИКА

Для проведения диффузионного отжига использовали кварцевые ампулы диаметром 75 мм с необходимым внутренним объемом. Процесс загрузки и герметизации ампул происходит следующим образом.

Ампулу и все предназначенные для загрузки в нее детали обрабатывали кислотой HF и деионизованной водой. С буферных и экранирующих пластин, используемых многократно (10—15 процессов, в зависимости от их состояния), а также с ограничительных шайб перед проведением каждого процесса удаляли буферным раствором на основе HF «старый» слой SiO_2 и наращивали новый. Для этого все детали и саму ампулу перед сборкой отжигали в специальной печи в потоке сухого кислорода при температуре 1423 К в течение 40 мин. При этом выжигались адсорбированные поверхностью кварца различные элементы и одновременно наращивался слой SiO_2 на вспомогательные кремниевые детали. Экспериментальные кремниевые пластины непосредственно перед загрузкой в ампулу специально обрабатывали в растворе HF: H_2O (1:10) в течение 20 с для удаления остаточного слоя SiO_2 , затем подвергали финишной очистке на установке кистевой мойки и сушке в центрифуге, которая вращалась со скоростью до 3200 об/мин. После этого немедленно, с целью предотвращения естественного роста SiO_2 на поверхности Si за счет атмосферного кислорода, экспериментальные кремниевые пластины передавали в эксикаторах для загрузки в ампулу, подготовленную точно к этому времени вместе со вспомогательными деталями и источником диффузии.

Выполнение всех технологических операций без промедления и в согласованные сроки играет важную роль в обеспечении воспроизводимости процессов диффузии мышьяка за счет ограничения толщины «естественного» оксида, представляющего собой барьер для проникновения атомов мышьяка в кремний, особенно если учесть, что мышьяк отличается наименьшим коэффициентом диффузии по сравнению с другими легирующими примесями, применяемыми в производстве полупроводниковых приборов (фосфор, бор и т. п.).

Рабочие и контрольные пластины кремния помещали в ампулу в виде плотного пакета, в котором

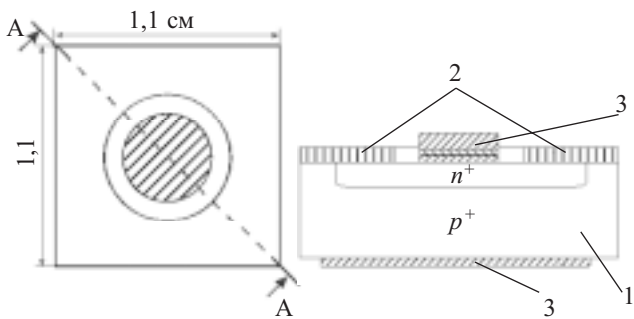


Рис. 1. Конструкция образца с диффузионным $p-n$ -переходом:

1 — сильнолегированный кремний; 2 — защитный слой оксида;
3 — омические контакты

полный остаточный зазор между пластинами не превышал 10 мм, для чего использовали ограничительные кремниевые шайбы толщиной порядка 5 мм. Ампулу, загруженную кремниевыми пластинами в специальной кварцевой кассете и кварцевым стаканчиком с источником диффузии, заваривали со стороны шлифованной кварцевой пробки, отжигали 20 мин при температуре 623 К при непрерывном вакуумировании до остаточного давления около $5 \cdot 10^{-3}$ Па, после чего отсоединяли от системы откачки. Затем ампулу быстро помещали в диффузионную печь. После диффузионного отжига ампулу охлаждали, поливая холодной водой со стороны шлиф-пробки. Этим обеспечивалось контролируемое осаждение паров мышьяка не на кремниевые пластины, а на основание охлаждаемой пробки (т. е. предотвращалось образование кристаллических дефектов в виде дендритов мышьяка на поверхности кремниевых n^+ — p^+ -структур), а также обеспечивалась воспроизводимость скорости охлаждения пакета кремниевых пластин. Последнее способствует достижению воспроизводимости градиента концентрации мышьяка в области $p-n$ -перехода и, соответственно, воспроизводимости напряжения пробоя кремниевых n^+ — p^+ -структур. Причина этого в том, что мышьяк в диффузионном слое находится в активной и неактивной формах (клластерах), способных переходить одна в другую в зависимости от скоростей нагрева и охлаждения $p-n$ -структур [2]. Соответственно, можно изменять градиент концентрации активной составляющей мышьяка, а значит, и напряжение пробоя $p-n$ -структур. Большинство экспериментов были проведены на образцах p^+-n^+ -структур простейшей конструкции (рис. 1).

Исследование диффузии мышьяка из различных источников

Для обеспечения воспроизводимости электрических параметров и предотвращения образования структурных дефектов при изготовлении низковольтных диффузионных $p-n$ -переходов ампульным методом, помимо названных приемов, предложен также способ подготовки источника диффузии мышьяка, который отличается от известных [3].

Были исследованы процессы диффузии в неокисляющей среде (вакууме) с источником легирующей примеси, находящимся как в элементарном виде (кристаллический мышьяк), так и в виде лигатуры — порошка кремния марки КДБ, легированного до определенной концентрации мышьяком. Лигатуру готовили отжигом порошка кремния в присутствии кристаллического мышьяка в специальных вакуумированных кварцевых ампулах при температуре 1273 К в течение 48 ч. Порошок легированного таким образом кремния измельчали в агатовой ступке и использовали в качестве источника диффузии. Использовали также составной источник диффузии в виде навески кристаллического мышьяка вместе с навеской порошка кремния марки КДБ 0,001.

Площадь полученных низковольтных $p-n$ -переходов в образцах составляла $4,5 \cdot 10^{-4} \text{ см}^2$.

ФУНКЦИОНАЛЬНАЯ МИКРО- И НАНОЭЛЕКТРОНИКА

Для образцов, полученных в процессе диффузии примеси из разных источников, измеряли напряжение пробоя U_{Br} , глубину залегания диффузионного слоя x_j и удельное поверхностное сопротивление ρ_s . Как видно из **рис. 2**, результаты измерения U_{Br} для образцов, полученных с навесками As массой 150, 200 и 350 мг (кривые 1, 2 и 5) и с навеской лигатуры КДБ 0,001 (кривая 4), близки между собой.

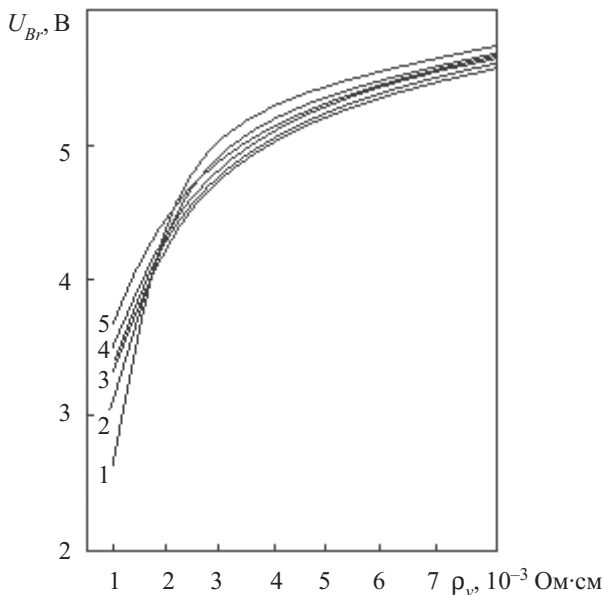


Рис. 2. Зависимость U_{Br} $p-n$ -переходов, изготовленных диффузией легирующих примесей из разных источников, от удельного сопротивления ρ_v исходного кремния:
1 — As, 150 мг; 2 — As, 200 мг; 3 — As, 450 мг + Si, 5 г;
4 — лигатура; 5 — As, 350 мг; 6 — As, 400 мг + Si, 5 г, 2 ч
7 — As, 400 мг + Si, 5 г, 4 ч

В области значений удельного сопротивления кремния $\rho_v = 0,001—0,002 \text{ Ом}\cdot\text{см}$ дисперсия значений U_{Br} $p-n$ -переходов как на пластинах из различных партий, так и на отдельных пластинах одной партии для навесок As 150, 200 и даже 350 мг была недопустимо высока (см. **таблицу**).

Диффузионные слои залегали в исследуемых пластинах на относительно малой глубине (**рис. 3**).

В результате неглубокого проникновения мышьяка отмечено уменьшение средних значений U_{Br} $p-n$ -переходов структур с заданным значением ρ_v (рис. 2, кривые 1, 2). При измерениях наблюдалась неустойчивость во времени напряжения пробоя и даже снижение U_{Br} вплоть до 0 (т. е. до короткого замыкания переходов).

Средние квадратичные отклонения величины U_{Br} (в В) для образцов, полученных при разных источниках диффузии

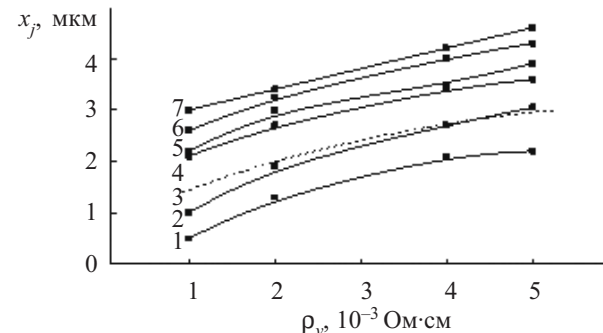


Рис. 3. Зависимость средних значений x_j от ρ_v исходного кремния для разных источников и режимов диффузии:
1 — As, 120 мг; 2 — As, 180 мг; 3 — лигатура; 4 — As, 200 мг + Si, 5 г; 5 — As, 300 мг; 6 — As, 400 мг + Si, 5 г, 2 ч; 7 — As, 400 мг + Si, 5 г, 4 ч

Полученные результаты измерения удельного поверхностного сопротивления ρ_s (**рис. 4**) для процессов с навесками кристаллического As массой $m = 50—350 \text{ мг}$, достаточно хорошо описываются зависимостью вида

$$\rho_s^{-1} \approx m^{1/4}, \quad (1)$$

что согласуется с известными представлениями о том, что As при температуре выше 1273 К находится преимущественно в виде четырехатомных молекул [4]. Это также представляет интерес при оценке давления паров мышьяка в ампуле по известной формуле Клайперона–Менделеева [5, с. 153].

Вместе с тем, дефектность рабочих кремниевых пластин (разнообразные дефекты эрозионного характера и дислокационные треугольники на диффузионном поле, разветвленные осаждения тонких

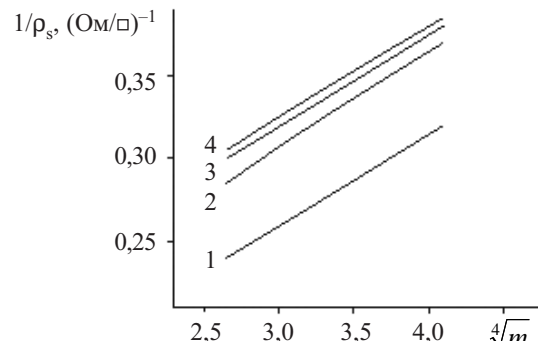


Рис. 4. Зависимость средних значений ρ_s от массы m навески As для разных значений ρ_v кремния (в $\text{Ом}\cdot\text{см}$):
1 — 0,002; 2 — 0,005; 3 — 0,008; 4 — 0,01

| ρ_v кремния, Ом·см | Источник диффузии | | | | | |
|----------------------------|-------------------|--------------|--------------|----------|----------------------|----------------------|
| | 150 мг As | 200 мг As | 350 мг As | Лигатура | 250 мг As, 5 г Si | 450 мг As, 5 г Si |
| 0,001 | 1,23 | 0,67 | 0,54 | 0,25 | 0,10 | 0,08 |
| 0,002 | 1,17 | 0,50 | 0,83 | 0,37 | 0,15 | 0,18 |
| 0,003 | 0,81 | 0,28 | 0,35 | 0,30 | 0,18 | 0,16 |
| 0,005 | 0,30 | 0,23 | 0,37 | 0,32 | 0,23 | 0,18 |
| 0,008 | 0,54 | 0,40 | 0,41 | 0,47 | 0,33 | 0,24 |

криSTALLов As на оксиДЕ и т. п.) изготовленных в процессах с навесками 300 мг As, была значительно выше, чем пластин, для которых источником диффузии служила лигатура. Полученные результаты диффузии примесей, находящихся в элементарном виде, в сильнолегированный кремний можно объяснить тем, что в условиях вакуумированной ампулы существенно возрастает роль процессов встречной диффузии (испарения) элементов полупроводниковой подложки — кремния, давление паров которого при температуре 1423 К достигает $5 \cdot 10^{-2}$ Па [6], и, что особенно важно, бора — основной легирующей примеси для используемых в данном случае кремниевых пластин марки КДБ (кремний дырочного типа проводимости, легированный бором) (рис. 5). В частности, образование структурных дефектов на поверхности легируемых мышьяком кремниевых пластин связано с процессами испарения и осаждения собственно атомов кремния и атомов бора из пластин подложки. Определенное участие в этом принимает также газообразный мышьяк.

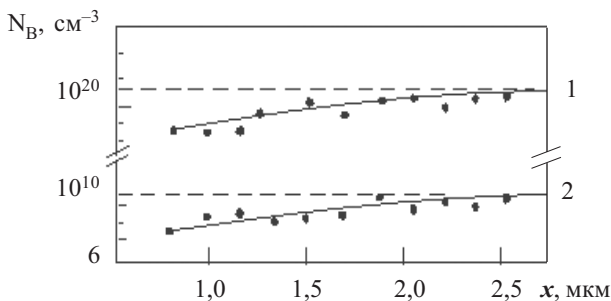


Рис. 5. Профили распределения концентрации бора в кремниевых подложках типа КДБ 0,001 (1) и КДБ 0,01 (2), отожженных при 1423 К в вакууме

Следует отметить, что дефектность рабочих пластин в случае применения источника как в виде кристаллического As, так и в виде лигатуры при проведении диффузии в сильнолегированный кремний типа КДБ 0,001 и КДБ 0,002 была недопустимо высокой, несмотря на предпринятые меры по заключительному охлаждению ампул с пластинами.

Для решения этой проблемы были проведены эксперименты, в которых вместе с навеской кристаллического As в ампулу дополнительно помещали порошок КДБ 0,001 с дисперсностью порядка 200 мкм. Такой порошок служил источником паров бора и был предназначен для создания необходимого уровня противодавления, препятствующего испарению бора из подложки.

Чтобы исключить испарение бора из подложки, его дополнительный источник должен обеспечивать в свободном объеме ампулы (V_F) концентрацию паров бора (N_g), близкую к его концентрации в подложке (N_B), т. е. должно выполняться условие $N_g \approx N_B$, а для этого

$$N_g = \frac{S_p \int_0^t I(0,t) dt}{V_F}. \quad (2)$$

Здесь S_p — площадь поверхности частиц кремния типа КДБ (дополнительного источника в виде порошка); $I(0,t)$ — поток атомов бора из частиц источника. Отсюда видно, что процесс встречного испарения базовой примеси (бора) можно контролировать, управляя технологическими факторами (S_p, V_F). Процессы в вакуумированной кварцевой ампуле, в которых использовали составной источник диффузии в виде навески кристаллического мышьяка и навески порошка легированного кремния с концентрацией бора не менее его концентрации в рабочих кремниевых пластинах, дали положительные результаты как по электрическим параметрам $p-n$ -структур, так и по их дефектности.

Для объяснения зависимости напряжения пробоя низковольтных $p-n$ -структур от скорости охлаждения кремниевых пластин (ампулы с пластинами) по окончании процесса диффузии мышьяка следует использовать данные [6, 7], в соответствии с которыми мышьяк при температуре ниже 1473 К может находиться в двух формах — электрически активной (ионы) и электрически пассивной в виде кластеров с компенсированным зарядом. При охлаждении ампулы с кремниевыми пластинами количественное соотношение этих форм мышьяка может меняться, что отражается на величине напряжения пробоя $p-n$ -переходов. Для определения этого соотношения используют измерение распределения As в кремнии двумя методами — дифференциальной проводимости (определение концентрации электрически активной составляющей атомов As) и активационным (определение полной концентрации атомов As). Профиль распределения As в сильнолегированном кремнии марки КДБ 0,001, полученный первым методом (измерение четырехзондовым методом поверхностного сопротивления кремниевых пластин после диффузии As с последовательным «химическим» удалением слоев) представлен на рис. 6. Экспериментальные результаты сравниваются

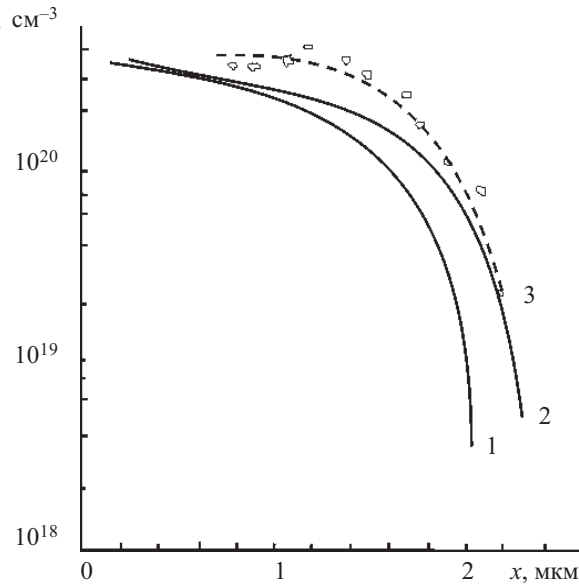


Рис. 6. Профили распределения As в подложках типа КДБ 0,001:
1, 2 — теоретические из [9] и [10], соответственно; 3 — экспериментальный

с теоретическими, полученными на основании значений коэффициентов диффузии As при температуре 1423 К в кремний КДБ 0,001, приведенных в [8, 9].

В соответствии с [9], полную характеристику экспериментальных диффузионных слоев можно получить с помощью модели диффузии примесей *n*-типа (As) в кремний:

$$\frac{\partial C}{\partial t} = \frac{\partial}{\partial x} \left[D \frac{\partial C}{\partial x} \right]; \quad (3)$$

$$D = D_i \left[\alpha C + (\alpha^2 C^2 + 1)^{1/2} \right] \left[1 + \alpha C (\alpha^2 C^2 + 1)^{-1/2} \right]; \quad (4)$$

$$\alpha = N_s / (2n_i); \quad (5)$$

$$n_i = 6,77 \cdot 10^{21} \exp[-1,55/(2kT)], \quad (6)$$

где D_i — собственный коэффициент диффузии;
 C — концентрация примеси, нормированная к поверхностной концентрации примеси N_s .

Для уровня высоких концентраций, где выполняется условие $N_s \gg n_i$, соотношение (4) можно упростить: $D = D_i \cdot 4\alpha C$.

В этом случае основное уравнение (3) с точностью до 25% относительно D принимает вид

$$\frac{\partial C}{\partial t} = D_s \frac{\partial}{\partial x} \left(C \frac{\partial C}{\partial x} \right); \quad (7)$$

$$D_s = 4\partial D_i = 2N_s D_i / n_i, \quad (8)$$

где D_s — коэффициент диффузии, соответствующий концентрации N_s .

Аналитическое уравнение можно дополнить соотношениями, связывающими основные измеряемые параметры диффузии — ρ_s и x_j — с параметрами распределения мышьяка $N(x)$.

Используя полученные в [9] приближенные выражения

$$C = 1 - 0,87Y - 0,45Y^2, \quad (9)$$

где $Y = \frac{X}{2\sqrt{D_s t}} = \frac{X}{4\sqrt{\alpha D_i t}}$, (10)

в области залегания *p-n*-перехода, т. е. при $N(x_j)=0$, эффективный коэффициент диффузии D_s можно найти из формулы $X|_{N=0} = X_j = 1,616 (D_s t)^{1/2}$ или

$$X_j = 1,616 \left(\frac{2N_s D_s}{n_i} t \right)^{1/2}. \quad (11)$$

Удельное поверхностное сопротивление легированного слоя определяется классическим выражением

$$\rho_s = \left[q \bar{\mu} \int_0^{x_j} N(x) dx \right]^{-1}, \quad (12)$$

где $\bar{\mu}$ — объемная эффективная подвижность носителей для $N \geq 6 \cdot 10^{19} \text{ см}^{-3}$ $\bar{\mu} \approx 75 \text{ см}^2/(\text{В} \cdot \text{с})$;

q — заряд электрона.

Используя приближенное выражение (3) и учитывая условие $N_s \gg n_i$, интеграл в (12) рассчитывается достаточно просто:

$$\int_0^{x_j} N(x) dx \approx 0,55 N_s X_j. \quad (13)$$

Таким образом, получаем

$$N_s = \frac{1,56 \cdot 10^{17}}{\rho_s X_j}. \quad (14)$$

Оценка x_j и N_s по формулам (11) и (14) хорошо согласуется с экспериментальными значениями, полученными для диффузионных слоев в кремниевых подложках КДБ 0,001 (см. рис. 6).

Наилучшее соответствие экспериментального распределения теоретическим, рассчитанным в [7, 8], получено для экспериментального значения $N_s \approx 4 \cdot 10^{20} \text{ см}^{-3}$ и $D_i = 6 \cdot 10^{-14} \text{ см}^2$ ($D_s = 4,8 \cdot 10^{-12} \text{ см}^2$). Профили распределения As в подложке, рассчитанные с использованием коэффициента диффузии As при температуре 1423 К в КДБ 0,001 по данным [8], существенно расходятся с экспериментальными результатами (рис. 6).

Различие значений N_s в наших экспериментах и в экспериментах авторов [9] можно объяснить разной величиной давления As в ампуле: максимальное давление P_{As} в [9] не превышало $5,3 \cdot 10^4 \text{ Па}$, а в наших экспериментах давление было в пять раз больше. Это достаточно хорошо согласуется (если учитывать также погрешности при измерениях N_s методом дифференциальной проводимости) с результатами исследования зависимости поверхностного сопротивления легированного слоя ρ_s от удельного сопротивления источника кремния ρ_v (рис. 7). В качестве дополнительного источника кремния использовали материал типа КДБ с разными значениями ρ_v (от 0,001 до 0,08 Ом·см).

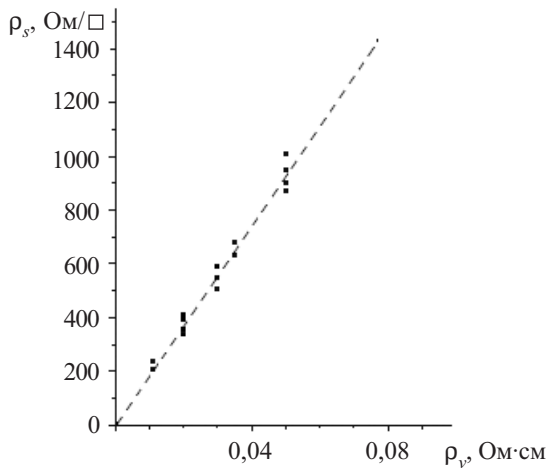


Рис. 7. Зависимость поверхностного сопротивления ρ_s диффузионного слоя в кремниевой подложке типа КЭФ 4,5 от ρ_v дополнительного источника кремния

ФУНКЦИОНАЛЬНАЯ МИКРО- И НАНОЭЛЕКТРОНИКА

Таким образом, при переходе к другим условиям диффузии As (другим значениям T , m_{As} , V_F) необходимо при оценке $N(x)$ учитывать зависимости $N_s(P_{As})$, $D_i(T)$, $n_i(T)$ [8, 9].

Отметим также, что на профиле распределения As, полученном активационным методом, вблизи плоскости $X=0$ (поверхность подложки) наблюдается некоторое накопление мышьяка. Этот результат подтверждается измерениями профиля на трех образцах, полученных в разных диффузионных процессах при идентичных условиях диффузии. В случае замены мышьяка фосфором такого накопления не наблюдали. Накопление As, возможно, связано с известным явлением накопления донорных примесей, обладающих высоким коэффициентом сегрегации, в поверхностном слое Si при наличии на нем слоя SiO_2 . Кремниевые образцы, подготовленные к ампульной диффузии, сохраняют на поверхности слой естественного оксида толщиной 10—20 Å. При диффузии в окисляющей атмосфере фосфора кремний контактирует не с естественным SiO_2 , а с вязким слоем фосфоросиликатного стекла, которое, конечно, играет уже иную роль с точки зрения переноса диффундирующими примесями. Накопление As свидетельствует о том, что перенос As через поверхностный барьер естественного SiO_2 не лимитирует процесс его диффузии в кремний. Ограничение диффузии As связано с механизмами, определяющими скорость диффузии As в Si-подложку. Значительную крутизну профиля распределения As в области концентраций около 10^{20} см^{-3} , соответствующей области образования низковольтного $p-n$ -перехода (рис. 6), можно объяснить известным эффектом ускорения диффузии легирующих примесей, в данном случае As, в зоне высокой концентрации. На этом основании следует ожидать торможения продвижения диффузионного фронта As по сравнению с диффузией атомов As, находящихся в зоне с более высокой концентрацией, что способствует увеличению градиента концентрации As в области $p-n$ -перехода и, соответственно, получению, в отличие от диффузии фосфора, качественных низковольтных

$p-n$ -структур (с относительно низкими значениями дифференциального сопротивления).

Выводы

Таким образом, установлено, что при проведении процессов диффузионного легирования мышьяком кремниевых пластин в вакуумированной кварцевой ампуле наиболее эффективным является использование составного источника диффузии в виде кристаллического мышьяка и порошка кремния марки КДБ с концентрацией базовой примеси (бора) не менее концентрации базовой примеси (бора) в легируемых кремниевых пластинах.

Полученные в работе результаты представляют интерес при разработке и производстве низковольтных (менее 7 В) ограничителей напряжения на основе кремния.

ИСПОЛЬЗОВАННЫЕ ИСТОЧНИКИ

1. Дудар Н. Л., Сякерский В. С., Корытко Н. Н. Моделирование электрических характеристик и расчет конструктивных параметров кремниевого стабилитрона с напряжением стабилизации 6,5 В // Технологии и конструирование в электронной аппаратуре.— 2009.— № 3.— С. 10—12.
2. Пат. 5328. Способ изготовления кремниевых ограничителей напряжения / А. Ф. Муратов, А. З. Рахматов, А. А. Меркулов, И. Р. Исмоилов.— 1994.— Бюл. № 3.
3. Болтакс Б. И. Диффузия в полупроводниках.— М.: Физматгиз, 1961.
4. Рицхладзе В. Г. Мышиак.— М.: Металлургия, 1969.
5. Яворский Б. М., Детлаф А. А. Справочник по физике.— М.: Наука, 1968.
6. Пашков В. М. Глубокая очистка мышьяка методом направленной кристаллизации // Высокочистые вещества.— 1988.— № 1.— С. 123—126.
7. Кондратенко Л. А., Рассадин А. Э., Чистяков А. С. Моделирование процесса нелинейной высокоградиентной диффузии в полупроводниках // ПЖТФ.— 2005.— Т. 31, Вып. 3.— С. 27—30.
8. Атомная диффузия в полупроводниках / Под ред. Д. Шоу.— М.: Мир, 1971.
9. Nakajima J, Ohkawa Sh, Fukukawa J. Simplified expression for the distribution of diffused impurity // Jap. J. Appl. Phys.— 1971.— N 10.— P. 162—163.
10. Ghoshtagore R.N. Low concentration diffusion in silicon under sealed tube conditions // Solid State Electron.— 1972.— Vol. 15, N 10.— P. 1113—1120.

НОВЫЕ КНИГИ

Лутц фон Вангенхайм. Активные фильтры и генераторы. Проектирование и схемотехника с использованием интегрированных микросхем.— М.: Техносфера, 2010.— 416 с.

Книга знакомит читателя с современными методами обработки аналогового сигнала. В издании рассматриваются активные цепи с использованием обычных и новых усилителей ICs (усилители, интеграторы и преобразователи полного сопротивления), проектирование, расчет и сравнение различных схем фильтров; использование компьютерных программ при проектировании фильтров, синус-генераторы с интегрированными усилителями. Пожалуй, впервые в специализированной литературе эта тема раскрывается настолько подробно и в таком объеме.

Книга является удобным справочником для инженеров и исследователей, стремящихся расширить свои знания в области аналоговой обработки сигнала.

